

Méthode des éléments finis

Généralisation de la forme faible aux problèmes unidimensionnels

Prof. Th. Gmür

EPFL-STI-IGM-LMAF, ME C1 401, téléphone : 32924,
messagerie électronique : thomas.gmuer@epfl.ch

Formulation faible approchée

- Approximation des déplacements axiaux réel et virtuel

$$u \approx u^h \in U^h \subset U$$

$$\delta u \approx \delta u^h \in V^h \subset V$$

- Forme faible approchée

$$\begin{aligned}
 u^h \in U^h : \int_0^\ell [EA (du^h/dx) (d\delta u^h/dx) + \rho u^h \delta u^h] dx \\
 + r u^h(\ell) \delta u^h(\ell) \\
 = \int_0^\ell q \delta u^h dx + Q \delta u^h(x_3) + P \delta u^h(\ell) \quad \forall \delta u^h \in V^h
 \end{aligned}$$



Méthode de Galerkin

- Approximation de Galerkin

$$u^h(x) = \sum_{i=1}^n \alpha_i h_i(x) = \mathbf{H}(x) \boldsymbol{\alpha}$$

$$\delta u^h(x) = \sum_{i=1}^n \delta \alpha_i h_i(x) = \mathbf{H}(x) \delta \boldsymbol{\alpha}$$

$\mathbf{H} = [h_1, h_2, \dots, h_i, \dots, h_n]$ matrice $(1 \times n)$ des
 fonctions de forme
 $h_i(x)$ ($i = 1, 2, \dots, n$) fonctions de forme
 linéairement indépendantes

$\boldsymbol{\alpha} = \{\alpha_1, \alpha_2, \dots, \alpha_i, \dots, \alpha_n\}^T$ vecteur $(n \times 1)$
 des inconnues



Méthode de Galerkin

- Forme faible discrète

$$\mathbf{K} \boldsymbol{\alpha} = \mathbf{r}$$

$$\mathbf{K} = \int_0^\ell [EA (d\mathbf{H}^T/dx) (d\mathbf{H}/dx) + \rho \mathbf{H}^T \mathbf{H}] dx \quad \text{matrice de rigidité} \\ + r \mathbf{H}^T(\ell) \mathbf{H}(\ell)$$

$$= \int_0^\ell (EA \mathbf{B}^T \mathbf{B} + \rho \mathbf{H}^T \mathbf{H}) dx \quad (\mathbf{B} = d\mathbf{H}/dx) \\ + r \mathbf{H}^T(\ell) \mathbf{H}(\ell)$$

$$\mathbf{r} = \int_0^\ell \mathbf{H}^T q dx + \mathbf{H}^T(x_3) Q + \mathbf{H}^T(\ell) P \quad \text{vecteur des forces appliquées}$$



Méthode de Galerkin

- Forme faible discrète

$$\mathbf{K} \boldsymbol{\alpha} = \mathbf{r}$$

$$\mathbf{K} = \int_0^\ell [EA (\mathbf{dH}^T/\mathbf{dx}) (\mathbf{dH}/\mathbf{dx}) + \rho \mathbf{H}^T \mathbf{H}] dx \quad \text{matrice de rigidité}$$
$$+ r \mathbf{H}^T(\ell) \mathbf{H}(\ell)$$

$$= \int_0^\ell (EA \mathbf{B}^T \mathbf{B} + \rho \mathbf{H}^T \mathbf{H}) dx \quad (\mathbf{B} = \mathbf{dH}/\mathbf{dx})$$
$$+ r \mathbf{H}^T(\ell) \mathbf{H}(\ell)$$

$$\mathbf{r} = \int_0^\ell \mathbf{H}^T q dx + \mathbf{H}^T(x_3) Q + \mathbf{H}^T(\ell) P \quad \text{vecteur des forces appliquées}$$



Termes
nouveaux



Méthode de Galerkin

- Forme faible discrète

$$\mathbf{K} \boldsymbol{\alpha} = \mathbf{r}$$

$$\mathbf{K} = \int_0^\ell [EA (d\mathbf{H}^T/dx) (d\mathbf{H}/dx) + \rho \mathbf{H}^T \mathbf{H}] dx \quad \text{matrice de rigidité}$$
$$+ r \mathbf{H}^T(\ell) \mathbf{H}(\ell)$$

$$= \int_0^\ell (EA \mathbf{B}^T \mathbf{B} + \rho \mathbf{H}^T \mathbf{H}) dx \quad (\mathbf{B} = d\mathbf{H}/dx)$$
$$+ r \mathbf{H}^T(\ell) \mathbf{H}(\ell)$$

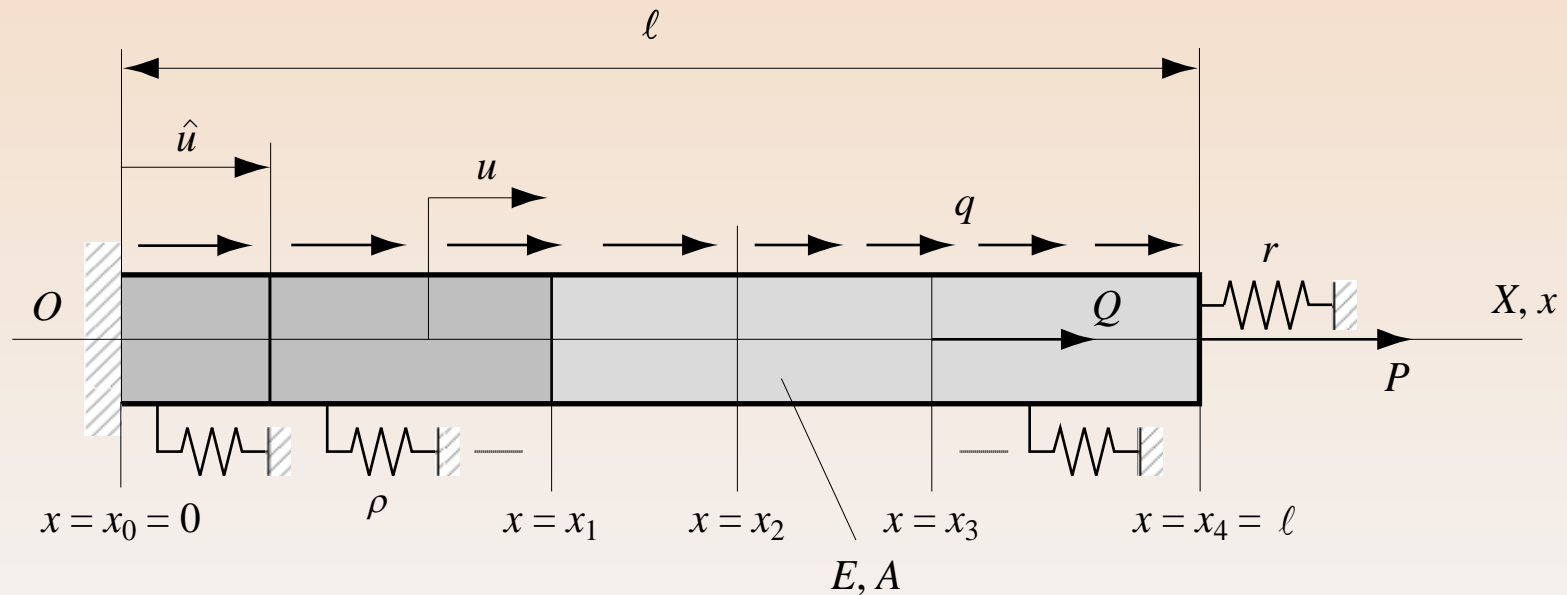
$$\mathbf{r} = \int_0^\ell \mathbf{H}^T q dx + \mathbf{H}^T(x_3) Q + \mathbf{H}^T(\ell) P \quad \text{vecteur des forces appliquées}$$



Termes dits correctifs



Méthode des éléments finis

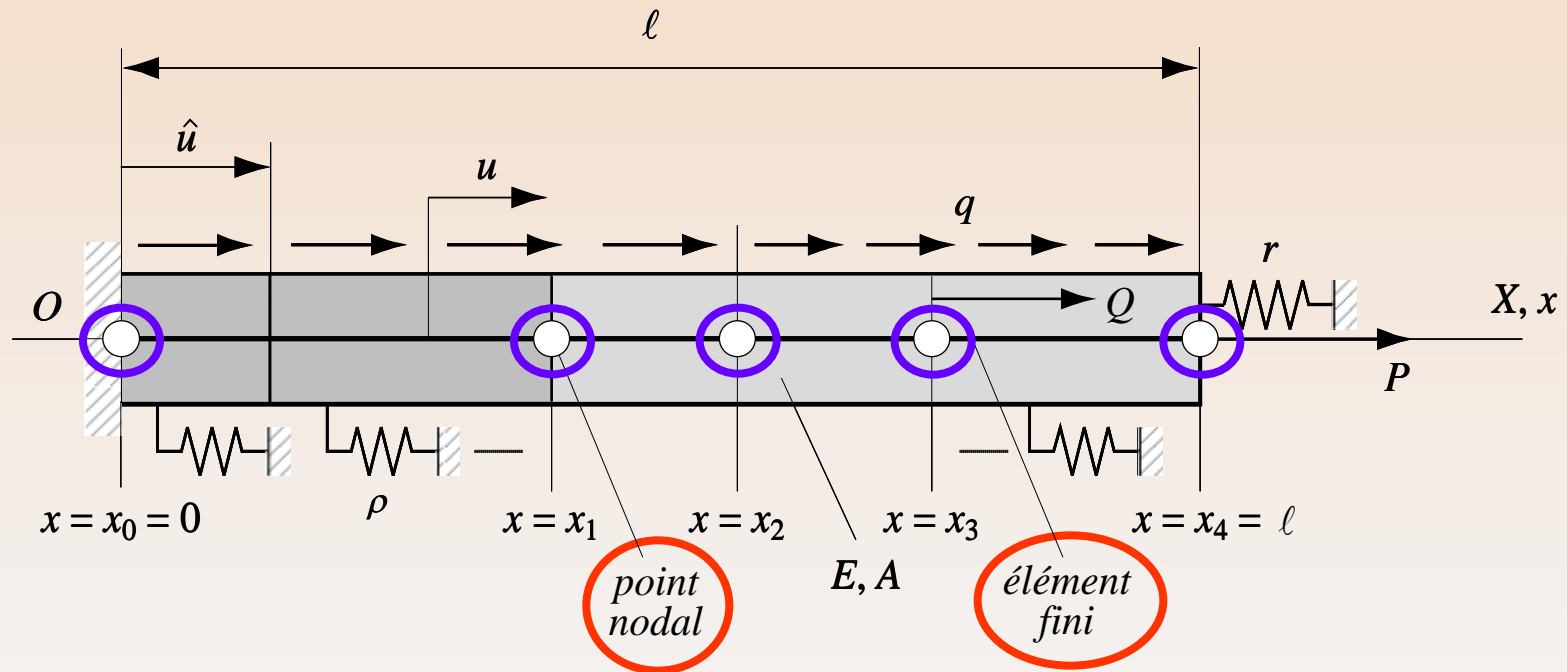


Critère de
différentiabilité \Rightarrow

Points nodaux aux
discontinuités

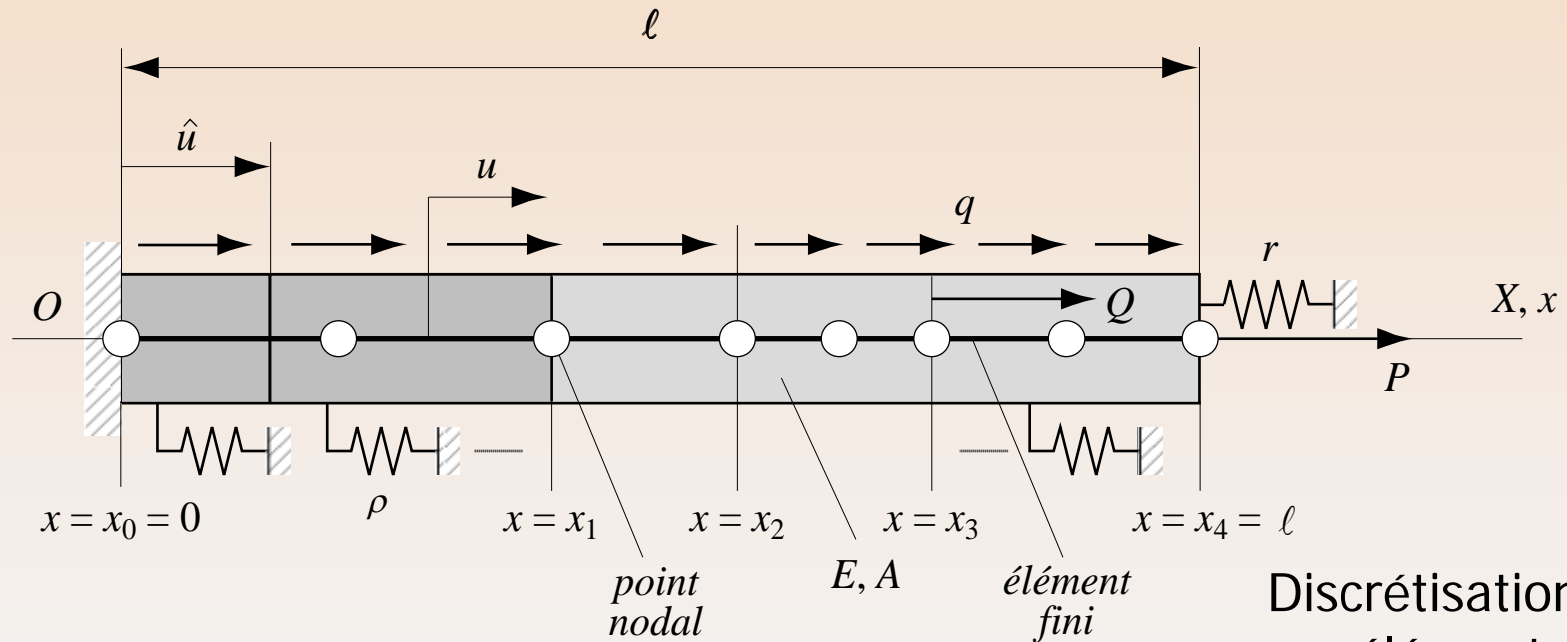


Méthode des éléments finis



Points nodaux aux
discontinuités

Méthode des éléments finis



Discretisation
en éléments
finis à deux
nœuds

Méthode des éléments finis

- Approximation des déplacements par éléments finis :
association d'une fonction de forme à chacun des nœuds

$$u^h(x) = \mathbf{H}(x) \mathbf{q}$$

$$\delta u^h(x) = \mathbf{H}(x) \delta \mathbf{q}$$

$$\mathbf{H} = [h_1, h_2, \dots, h_p]$$

matrice $(1 \times p)$ des
fonctions de forme
nodales



Fonctions $h_i(x)$ à support compact



Méthode des éléments finis

- Approximation des déplacements par éléments finis :
association d'une fonction de forme à chacun des nœuds

$$u^h(x) = \mathbf{H}(x) \mathbf{q}$$

$$\delta u^h(x) = \mathbf{H}(x) \delta \mathbf{q}$$

$$\mathbf{H} = [h_1, h_2, \dots, h_p]$$

matrice ($1 \times p$) des
fonctions de forme
nodales

$$\mathbf{q} = \{q_1, q_2, \dots, q_p\}^T$$

vecteurs ($p \times 1$) des
déplacements nodaux
réel et virtuel

$$\delta \mathbf{q} = \{\delta q_1, \delta q_2, \dots, \delta q_p\}^T$$



Critères de convergence à satisfaire par les fonctions $h_i(x)$



Méthode des éléments finis

- Forme faible discrète

$$\mathbf{K} \mathbf{q} = \mathbf{r} \quad (q_1 = \hat{q})$$

$$\mathbf{K} = \int_0^\ell [EA (d\mathbf{H}^T/dx) (d\mathbf{H}/dx) + \rho \mathbf{H}^T \mathbf{H}] dx \quad \text{matrice de rigidité}$$

$$+ r \mathbf{H}^T(\ell) \mathbf{H}(\ell)$$

$$\mathbf{r} = \int_0^\ell \mathbf{H}^T q dx + \mathbf{H}^T(x_3) Q + \mathbf{H}^T(\ell) P \quad \text{vecteur des forces appliquées}$$

$$\hat{q} \equiv q_1 = \mathbf{H}(0) \mathbf{q} = u^h(0) \approx u(0) = \hat{u} \quad \text{déplacement nodal imposé}$$



$$h_i(x_j) = \delta_{ij} \quad (i, j = 1, 2, \dots, p)$$



Méthode des éléments finis

- Forme faible discrète (analogue à celle dérivée de la méthode de Galerkin)

$$\mathbf{K} \mathbf{q} = \mathbf{r} \quad (q_1 = \hat{q})$$

$$\mathbf{K} = \int_0^\ell [EA (d\mathbf{H}^T/dx) (d\mathbf{H}/dx) + \rho \mathbf{H}^T \mathbf{H}] dx + r \mathbf{H}^T(\ell) \mathbf{H}(\ell)$$

matrice de rigidité

$$\mathbf{r} = \int_0^\ell \mathbf{H}^T q dx + \mathbf{H}^T(x_3) Q + \mathbf{H}^T(\ell) P$$

vecteur des forces appliquées

$$\hat{q} \equiv q_1 = \mathbf{H}(0) \mathbf{q} = u^h(0) \approx u(0) = \hat{u}$$

déplacement nodal imposé



Fonctions à support compact dans la matrice \mathbf{H}



Méthode des éléments finis

- Forme faible discrète (analogue à celle dérivée de la méthode de Galerkin)

$$\mathbf{K} \mathbf{q} = \mathbf{r} \quad (q_1 = \hat{q})$$

$$\mathbf{K} = \int_0^\ell [EA (d\mathbf{H}^T/dx) (d\mathbf{H}/dx) + \rho \mathbf{H}^T \mathbf{H}] dx \quad \text{matrice de rigidité}$$

Termes correctifs $+ r \mathbf{H}^T(\ell) \mathbf{H}(\ell)$



$$\mathbf{r} = \int_0^\ell \mathbf{H}^T q dx + \mathbf{H}^T(x_3) Q + \mathbf{H}^T(\ell) P \quad \text{vecteur des forces appliquées}$$

$$\hat{q} \equiv q_1 = \mathbf{H}(0) \mathbf{q} = u^h(0) \approx u(0) = \hat{u} \quad \text{déplacement nodal imposé}$$



Fonctions à support compact dans la matrice \mathbf{H}



Méthode des éléments finis

- Approche locale de la formulation (m éléments à ${}^e p$ nœuds)

$$\mathbf{K} \mathbf{q} = \mathbf{r} \quad (q_1 = \hat{q})$$

$$\mathbf{K} = \sum_{e=1}^m \mathbf{A}^e \mathbf{K} + r \mathbf{H}^T(\ell) \mathbf{H}(\ell)$$

Matrice élémentaire
 (${}^e p \times {}^e p$) de rigidité

$${}^e \mathbf{K} = \int_{{}^e \Omega} [{}^e E^e A (d{}^e \mathbf{H}^T/dx) (d{}^e \mathbf{H}/dx) + {}^e \rho {}^e \mathbf{H}^T {}^e \mathbf{H}] dx$$

$$\mathbf{r} = \sum_{e=1}^m \mathbf{A}^e \mathbf{r} + \mathbf{H}^T(x_3) Q + \mathbf{H}^T(\ell) P$$

Matrice des
fonctions de base

$${}^e \mathbf{r} = \int_{{}^e \Omega} {}^e \mathbf{H}^T {}^e q dx$$

Vecteur élémentaire (${}^e p \times 1$)
 des forces externes



Méthode des éléments finis

- Approche locale de la formulation (m éléments à ${}^e p$ nœuds)

$$\mathbf{K} \mathbf{q} = \mathbf{r} \quad (q_1 = \hat{q})$$

$$\mathbf{K} = \sum_{e=1}^m \mathbf{A}^e \mathbf{K}^e + \mathbf{r} \mathbf{H}^T(\ell) \mathbf{H}(\ell)$$

Matrice élémentaire
 (${}^e p \times {}^e p$) de rigidité

$${}^e \mathbf{K} = \int_{{}^e \Omega} [{}^e E^e A (d{}^e \mathbf{H}^T/dx) (d{}^e \mathbf{H}/dx) + {}^e \rho {}^e \mathbf{H}^T {}^e \mathbf{H}] dx$$

$$\mathbf{r} = \sum_{e=1}^m \mathbf{A}^e \mathbf{r}^e + \mathbf{H}^T(x_3) \mathbf{Q} + \mathbf{H}^T(\ell) \mathbf{P}$$

Matrice des
fonctions de base

$${}^e \mathbf{r} = \int_{{}^e \Omega} {}^e \mathbf{H}^T {}^e q dx$$

Vecteur élémentaire (${}^e p \times 1$)
 des forces externes



Contributions locales (fonctions à support compact dans \mathbf{H})



Méthode des éléments finis

- Résolution du système d'équations



Pas d'élimination de colonne

$$\begin{array}{c}
 1 \\
 2 \\
 3 \\
 \dots \\
 p
 \end{array}
 \left[\begin{array}{ccc}
 k_{11} & k_{12} & \\
 k_{21} & k_{22} & k_{23} \\
 & k_{32} & k_{33} \\
 & & \dots \\
 & & & \dots
 \end{array} \right]
 \begin{array}{c}
 q_1 \\
 q_2 \\
 q_3 \\
 \dots \\
 q_p
 \end{array}
 =
 \begin{array}{c}
 r_1 \\
 r_2 \\
 r_3 \\
 \dots \\
 r_p
 \end{array}$$

$\delta q_1 = 0$

$q_1 = \hat{q}$



Condition aux limites essentielle en $x = 0 \Rightarrow \delta q_1 = 0$



Méthode des éléments finis

- Système d'équations réduit

$$\begin{array}{c}
 2 \\
 3 \\
 \dots \\
 p
 \end{array}
 \left[\begin{array}{ccc}
 k_{21} & k_{22} & k_{23} \\
 & k_{32} & k_{33} \\
 & & \dots \\
 & & & \dots
 \end{array} \right]
 \begin{Bmatrix}
 \hat{q} \\
 q_2 \\
 q_3 \\
 \dots \\
 q_p
 \end{Bmatrix}
 =
 \begin{Bmatrix}
 r_2 - k_{21} \cdot \hat{q} \\
 r_3 \\
 \dots \\
 r_p
 \end{Bmatrix}$$

Méthode des éléments finis

- Système d'équations réduit

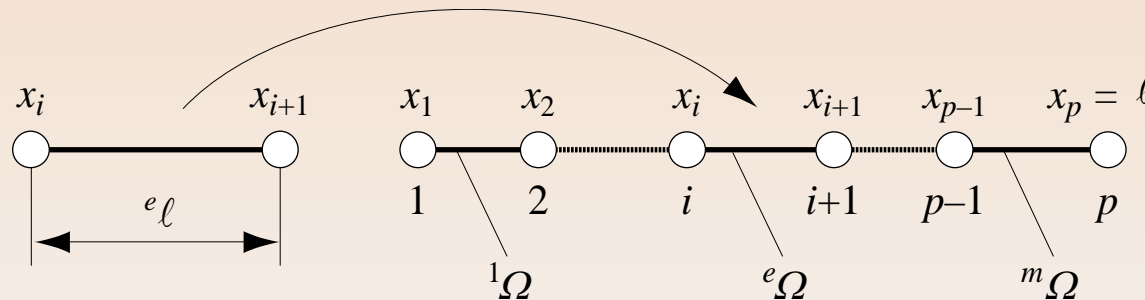
$$\begin{array}{c}
 \left[\begin{array}{c} 2 \\ 3 \\ \dots \\ p \end{array} \right] \left[\begin{array}{ccc} k_{21} & k_{22} & k_{23} \\ & k_{32} & k_{33} \\ & & \dots \end{array} \right] \begin{array}{c} \hat{q} \\ q_2 \\ q_3 \\ \dots \\ q_p \end{array} = \begin{array}{c} r_2 - k_{21} \cdot \hat{q} \\ r_3 \\ \dots \\ r_p \end{array}
 \end{array}$$



Condensation de la matrice de rigidité

Discrétisation en éléments finis linéaires

- Élément fini générique à deux points nodaux



- Transformation de coordonnées

$$\xi = \frac{1}{e_l} (2x - x_i - x_{i+1})$$

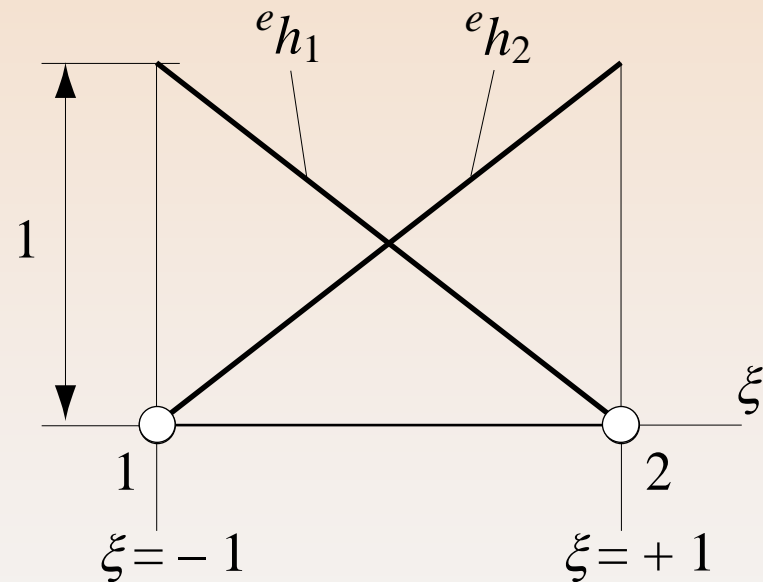
ξ coordonnée naturelle
 e_l longueur de l'élément

Discrétisation en éléments finis linéaires

- Fonctions de base linéaires de l'élément

$${}^e h_1 = \frac{1}{2} (1 - \xi)$$

$${}^e h_2 = \frac{1}{2} (1 + \xi)$$



Discrétisation en éléments finis linéaires

- Matrice élémentaire de rigidité
 - Composantes de la matrice de rigidité des éléments linéaires

$${}^e k_{ij} = \int_{{}^e \Omega} [{}^e E {}^e A (d^e h_i/dx) (d^e h_j/dx) + {}^e \rho {}^e h_i {}^e h_j] dx$$

- Calcul des composantes de la matrice

$${}^e k_{11} = \int_{{}^e \Omega} [{}^e E {}^e A (d^e h_1/dx)^2 + {}^e \rho {}^e h_1^2] dx$$

$$= \int_{{}^e \Omega} [{}^e E {}^e A (d^e h_1/d\xi)^2 (d\xi/dx)^2 + {}^e \rho {}^e h_1^2] dx$$

$$d\xi/dx = 2/{}^e \ell$$

$$dx = ({}^e \ell/2) d\xi$$

Dérivée de la
transformation de
coordonnées



Discrétisation en éléments finis linéaires

- Calcul des composantes de la matrice (*suite*)

$$\begin{aligned} {}^e k_{11} &= \int_{-1}^{+1} \left[{}^e E {}^e A \left(-\frac{1}{2}\right)^2 \left(\frac{2}{e_l}\right)^2 + \frac{{}^e \rho}{4} (1 - \xi)^2 \right] \frac{{}^e l}{2} d\xi \\ &= {}^e E {}^e A / {}^e l + {}^e \rho {}^e l / 3 \end{aligned}$$

$$\begin{aligned} {}^e k_{12} &= {}^e k_{21} = \int_{{}^e \Omega} [{}^e E {}^e A (d^e h_1/dx) (d^e h_2/dx) \\ &\quad + {}^e \rho {}^e h_1 {}^e h_2] dx \\ &= -{}^e E {}^e A / {}^e l + {}^e \rho {}^e l / 6 \end{aligned}$$

$$\begin{aligned} {}^e k_{22} &= \int_{{}^e \Omega} [{}^e E {}^e A (d^e h_2/dx)^2 + {}^e \rho {}^e h_2^2] dx \\ &= {}^e E {}^e A / {}^e l + {}^e \rho {}^e l / 3 \end{aligned}$$



Discrétisation en éléments finis linéaires

- Matrice de rigidité

$${}^e\mathbf{K} = \frac{{}^eE {}^eA}{{}^e\ell} \begin{bmatrix} 1 & -1 \\ -1 & 1 \end{bmatrix} + \frac{{}^e\rho {}^e\ell}{6} \begin{bmatrix} 2 & 1 \\ 1 & 2 \end{bmatrix}$$



Matrice (2×2)
indépendante de la
position de l'élément



Matrice définie
strictement positive



Paramètres de la matrice :
matériau (${}^eE, {}^e\rho$) et
géométrie (${}^eA, {}^e\ell$)



Discrétisation en éléments finis linéaires

- Matrice de rigidité

$${}^e\mathbf{K} = \frac{{}^eE {}^eA}{{}^e\ell} \begin{bmatrix} 1 & -1 \\ -1 & 1 \end{bmatrix} + \frac{{}^e\rho {}^e\ell}{6} \begin{bmatrix} 2 & 1 \\ 1 & 2 \end{bmatrix}$$



Matrice (2×2)
indépendante de la
position de l'élément



Matrice définie
strictement positive



Paramètres de la matrice :
matériau (eE , ${}^e\rho$) et
géométrie (eA , ${}^e\ell$)



Analogie avec une
matrice de masse



Discrétisation en éléments finis linéaires

- Matrice de rigidité

$${}^e\mathbf{K} = \frac{{}^eE {}^eA}{{}^e\ell} \begin{bmatrix} 1 & -1 \\ -1 & 1 \end{bmatrix} + \frac{{}^e\rho {}^e\ell}{6} \begin{bmatrix} 2 & 1 \\ 1 & 2 \end{bmatrix} + {}^e\kappa \begin{bmatrix} -1 & 1 \\ -1 & 1 \end{bmatrix}$$



Matrice (2×2)
indépendante de la
position de l'élément



Matrice définie
strictement positive



Paramètres de la matrice :
matériau (eE , ${}^e\rho$) et
géométrie (eA , ${}^e\ell$)



Analogie avec une
matrice de masse



Formulation complète
de la matrice



Discrétisation en éléments finis linéaires

- Matrice de rigidité

$${}^e\mathbf{K} = \frac{{}^eE {}^eA}{{}^e\ell} \begin{bmatrix} 1 & -1 \\ -1 & 1 \end{bmatrix} + \frac{{}^e\rho {}^e\ell}{6} \begin{bmatrix} 2 & 1 \\ 1 & 2 \end{bmatrix} + {}^e\kappa \begin{bmatrix} -1 & 1 \\ -1 & 1 \end{bmatrix}$$



Matrice (2×2)
indépendante de la
position de l'élément



Matrice définie
strictement positive



Paramètres de la matrice :
matériau (eE , ${}^e\rho$) et
géométrie (eA , ${}^e\ell$)



Analogie avec une
matrice de masse



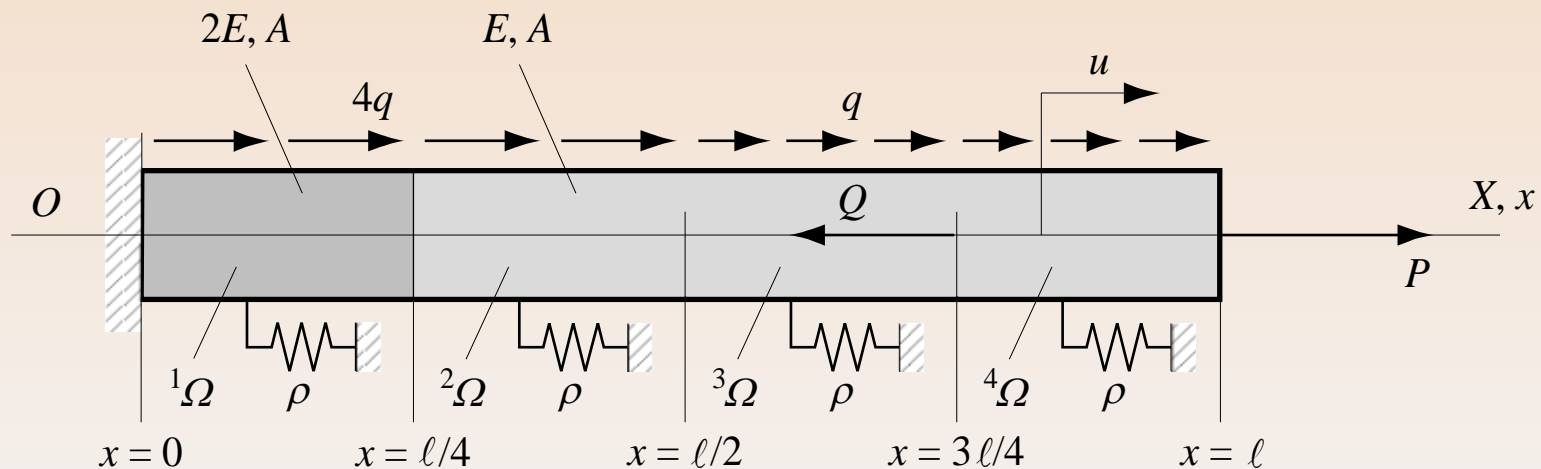
Perte de symétrie



Formulation complète
de la matrice



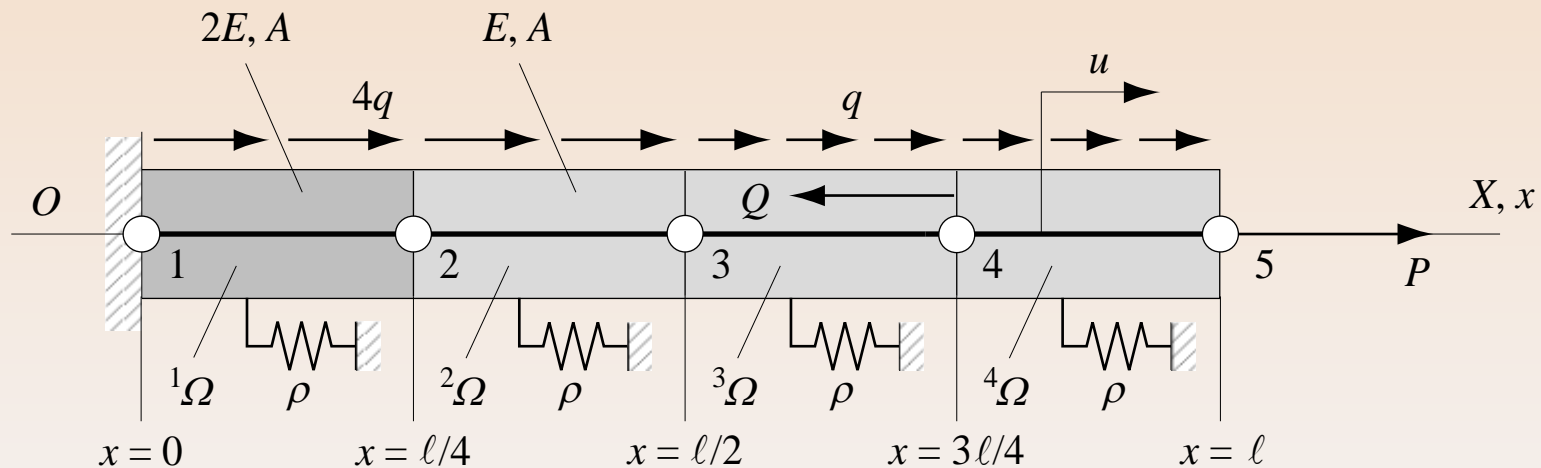
Exemple d'application de la méthode des éléments finis



Barre prismatique soumise à des discontinuités



Exemple d'application de la méthode des éléments finis



Barre prismatique soumise à des discontinuités et subdivisée en quatre éléments finis identiques



Exemple d'application de la méthode des éléments finis

- Équation différentielle

$$-E^*A (d^2u/dx^2) + \rho u = q^*$$

$$\text{dans } I_i =](i-1)l/4, il/4 [\quad (i = 1, 2, 3, 4)$$

avec

$$E^* = 2E \quad 0 \leq x \leq l/4$$

$$E^* = E \quad l/4 \leq x \leq l$$

$$q^* = 4q \quad 0 \leq x \leq l/2$$

$$q^* = q \quad l/2 \leq x \leq l$$



Exemple d'application de la méthode des éléments finis

- Conditions aux limites

$$u(0) = 0 \quad \text{condition essentielle homogène}$$

$$EA \left(\frac{du}{dx} \right) \Big|_{x=\ell} = P \quad \text{condition naturelle pure}$$

- Équations de continuité en flux (contrainte)

$$\lim_{x \rightarrow \ell/4^+} E \left[\frac{du(x)}{dx} \right] - \lim_{x \rightarrow \ell/4^-} 2E \left[\frac{du(x)}{dx} \right] = 0$$

$$\lim_{x \rightarrow \ell/2^+} E \left[\frac{du(x)}{dx} \right] - \lim_{x \rightarrow \ell/2^-} E \left[\frac{du(x)}{dx} \right] = 0$$

$$\lim_{x \rightarrow 3\ell/4^+} EA \left[\frac{du(x)}{dx} \right] - \lim_{x \rightarrow 3\ell/4^-} EA \left[\frac{du(x)}{dx} \right] = Q$$



Signe



Exemple d'application de la méthode des éléments finis

- Forme faible approchée

$$\begin{aligned} u^h \in U^h \subset U : \int_0^\ell [E^*A (du^h/dx) (d\delta u^h/dx) + \rho u^h \delta u^h] dx \\ = \int_0^\ell q^* \delta u^h dx - Q \delta u^h(3\ell/4) + P \delta u^h(\ell) \end{aligned}$$



Condition de bord naturelle pure

$$\forall \delta u^h \in V^h \subset V$$



Exemple d'application de la méthode des éléments finis

- Forme faible approchée

$$\begin{aligned} u^h \in U^h \subset U : \int_0^\ell [E^*A (du^h/dx) (d\delta u^h/dx) + \rho u^h \delta u^h] dx \\ = \int_0^\ell q^* \delta u^h dx - Q \delta u^h(3\ell/4) + P \delta u^h(\ell) \end{aligned}$$



Force Q négative

$$\forall \delta u^h \in V^h \subset V$$



Exemple d'application de la méthode des éléments finis

- Forme faible approchée

$$\begin{aligned} u^h \in U^h \subset U : \int_0^\ell [E^*A (du^h/dx) (d\delta u^h/dx) + \rho u^h \delta u^h] dx \\ = \int_0^\ell q^* \delta u^h dx - Q \delta u^h(3\ell/4) + P \delta u^h(\ell) \end{aligned}$$

$$\forall \delta u^h \in V^h \subset V$$

avec

$$U = V = \{w(x) \mid w(x) \in H^1(]0, \ell[) ; w(0) = 0\}$$



Condition de bord essentielle homogène



Exemple d'application de la méthode des éléments finis

- Système d'équations

$$\mathbf{K} \mathbf{q} = \mathbf{r} \quad (q_1 = 0)$$

$$\mathbf{K} = \mathbf{A} \sum_{e=1}^m {}^e \mathbf{K}$$

$${}^e \mathbf{K} = \int_{{}^e \Omega} [{}^e E^e A (d{}^e \mathbf{H}^T/dx) (d{}^e \mathbf{H}/dx) + {}^e \rho {}^e \mathbf{H}^T {}^e \mathbf{H}] dx$$

Matrice élémentaire
(2×2) de rigidité

$$\mathbf{r} = \mathbf{A} \sum_{e=1}^m {}^e \mathbf{r} - \mathbf{H}^T(3\ell/4) Q + \mathbf{H}^T(\ell) P$$

$${}^e \mathbf{r} = \int_{{}^e \Omega} {}^e \mathbf{H}^T {}^e q dx$$

Vecteur élémentaire (2×1)
des forces externes



Exemple d'application de la méthode des éléments finis

- Matrices élémentaires de rigidité

$${}^e\mathbf{K} = \frac{{}^eE {}^eA}{{}^e\ell} \begin{bmatrix} 1 & -1 \\ -1 & 1 \end{bmatrix} + \frac{{}^e\rho {}^e\ell}{6} \begin{bmatrix} 2 & 1 \\ 1 & 2 \end{bmatrix}$$

$$\Rightarrow {}^1\mathbf{K} = \frac{8EA}{\ell} \begin{bmatrix} 1 & -1 \\ -1 & 1 \end{bmatrix} + \frac{\rho\ell}{24} \begin{bmatrix} 2 & 1 \\ 1 & 2 \end{bmatrix}$$

$${}^2\mathbf{K} = {}^3\mathbf{K} = {}^4\mathbf{K} = \frac{4EA}{\ell} \begin{bmatrix} 1 & -1 \\ -1 & 1 \end{bmatrix} + \frac{\rho\ell}{24} \begin{bmatrix} 2 & 1 \\ 1 & 2 \end{bmatrix}$$



Exemple d'application de la méthode des éléments finis

- Matrice globale de rigidité

$$\mathbf{K} = \frac{4EA}{l} \begin{bmatrix} 2 & -2 & 0 & 0 & 0 \\ -2 & 3 & -1 & 0 & 0 \\ 0 & -1 & 2 & -1 & 0 \\ 0 & 0 & -1 & 2 & -1 \\ 0 & 0 & 0 & -1 & 1 \end{bmatrix} + \frac{\rho l}{24} \begin{bmatrix} 2 & 1 & 0 & 0 & 0 \\ 1 & 4 & 1 & 0 & 0 \\ 0 & 1 & 4 & 1 & 0 \\ 0 & 0 & 1 & 4 & 1 \\ 0 & 0 & 0 & 1 & 2 \end{bmatrix}$$



Exemple d'application de la méthode des éléments finis

- Vecteurs élémentaires des forces externes

$$e_{\mathbf{r}} = \frac{e q \ell}{2} \{1, 1\}^T$$



Concentration de la charge répartie aux nœuds

$$\Rightarrow 1_{\mathbf{r}} = 2_{\mathbf{r}} = \frac{q \ell}{2} \{1, 1\}^T$$

$$3_{\mathbf{r}} = 4_{\mathbf{r}} = \frac{q \ell}{8} \{1, 1\}^T$$

- Assemblage du vecteur global des forces externes

$$\mathbf{r} = \frac{q \ell}{8} \{4, 4+4, 4+1, 1+1, 1\}^T$$



Exemple d'application de la méthode des éléments finis

- Vecteur global des forces externes

$$\mathbf{r} = \frac{q\ell}{8} \{4, 8, 5, 2, 1\}^T$$

- Correction du vecteur global des forces externes

$$\mathbf{r} = \mathbf{A} \begin{matrix} m \\ e=1 \end{matrix} \mathbf{r} - \mathbf{H}^T(3\ell/4) Q + \mathbf{H}^T(\ell) P$$



Exemple d'application de la méthode des éléments finis

- Vecteur global des forces externes

$$\mathbf{r} = \frac{q\ell}{8} \{4, 8, 5, 2, 1\}^T$$

- Correction du vecteur global des forces externes

$$\mathbf{r} = \sum_{e=1}^m \mathbf{A}^e \mathbf{r} - \mathbf{H}^T(3\ell/4) Q + \mathbf{H}^T(\ell) P$$



Exemple d'application de la méthode des éléments finis

- Vecteur global des forces externes

$$\mathbf{r} = \frac{ql}{8} \{4, 8, 5, 2, 1\}^T$$

- Correction du vecteur global des forces externes

$$\mathbf{r} = \mathbf{A} \begin{matrix} m \\ e=1 \end{matrix} \mathbf{r} - \mathbf{H}^T(3l/4) Q + \mathbf{H}^T(l) P$$

$$\Rightarrow r_4 = \frac{ql}{4} - Q$$

$$r_5 = \frac{ql}{8} + P$$



Exemple d'application de la méthode des éléments finis

- Système d'équations linéaires

$$\left(\frac{4EA}{l} \begin{bmatrix} 2 & -2 & 0 & 0 & 0 \\ -2 & 3 & -1 & 0 & 0 \\ 0 & -1 & 2 & -1 & 0 \\ 0 & 0 & -1 & 2 & -1 \\ 0 & 0 & 0 & -1 & 1 \end{bmatrix} + \frac{\rho l}{24} \begin{bmatrix} 2 & 1 & 0 & 0 & 0 \\ 1 & 4 & 1 & 0 & 0 \\ 0 & 1 & 4 & 1 & 0 \\ 0 & 0 & 1 & 4 & 1 \\ 0 & 0 & 0 & 1 & 2 \end{bmatrix} \right) \begin{Bmatrix} q_1 \\ q_2 \\ q_3 \\ q_4 \\ q_5 \end{Bmatrix} = \frac{ql}{8} \{ \cancel{4}, 8, 5, 2, 1 \}^T + \{ \cancel{0}, 0, 0, -Q, P \}^T$$

$\delta q_1 = 0$ (indicated by a red horizontal line above the matrix)

$q_1 = 0$ (indicated by a blue vertical line to the left of the matrix)

$q_1 = 0$ (indicated by a blue vertical line to the left of the matrix)



Prise en compte de l'encastrement au nœud 1



Exemple d'application de la méthode des éléments finis

- Système d'équations réduit

$$\left(\frac{4EA}{l} \begin{bmatrix} 3 & -1 & 0 & 0 \\ -1 & 2 & -1 & 0 \\ 0 & -1 & 2 & -1 \\ 0 & 0 & -1 & 1 \end{bmatrix} + \frac{\rho l}{24} \begin{bmatrix} 4 & 1 & 0 & 0 \\ 1 & 4 & 1 & 0 \\ 0 & 1 & 4 & 1 \\ 0 & 0 & 1 & 2 \end{bmatrix} \right) \begin{Bmatrix} q_2 \\ q_3 \\ q_4 \\ q_5 \end{Bmatrix}$$



Pas de solution analytique simple



Choix de données numériques

$$= \frac{ql}{8} \begin{Bmatrix} 8 \\ 5 \\ 2 \\ 1 \end{Bmatrix} + \begin{Bmatrix} 0 \\ 0 \\ -Q \\ P \end{Bmatrix}$$



Exemple d'application de la méthode des éléments finis

- Application numérique

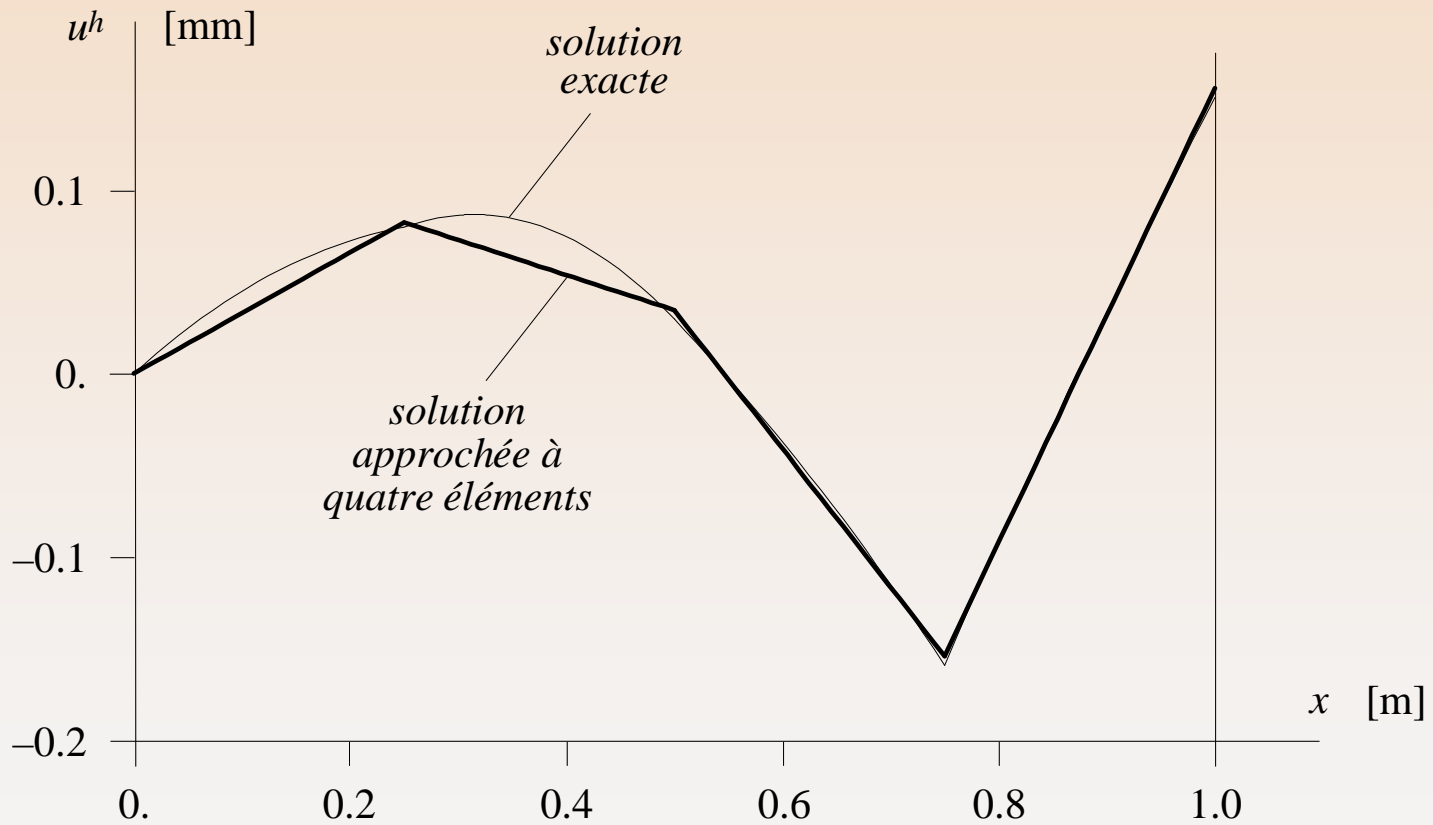
- Longueur $\ell = 1 \text{ m}$
- Section $A = 100 \text{ mm}^2$
- Module d'élasticité $E = 2.1 \cdot 10^{11} \text{ Pa}$
- Coefficient de charge $\rho = 1 \cdot 10^8 \text{ N/m}^2$
- Charge linéique $q = 20 \text{ kN/m}$
- Force ponctuelle interne $Q = 50 \text{ kN}$
- Force à l'extrémité libre $P = 25 \text{ kN}$



Unités



Exemple d'application de la méthode des éléments finis



Exemple d'application de la méthode des éléments finis

- Discussion des résultats et commentaires

- Solutions nodales précises, mais différentes des valeurs exactes



Perte de la superconvergence en raison du terme ρu

- Condition aux limites naturelle approchée en $x = l$

- Discontinuité de la déformation (pente) du/dx en $x = l/4$



Discontinuité du module E (continuité de la contrainte)

- Continuité de la déformation (pente) du/dx en $x = l/2$



Discontinuité de la charge q n'affectant pas la pente

- Discontinuité de la déformation (pente) du/dx en $x = 3l/4$



Présence de la force ponctuelle Q



Exemple d'application (Matlab) : discontinuités dans une barre

```
% ALLONGEMENT D'UNE BARRE SOUMISE A DES DISCONTINUITES
% Initialisation des variables
close all
clear all
syms E A L xsi le je dxsidx h H B p Q P rho Ke Me K re r
syms Kr rr q
nelem=4;
nnode=nelem+1;
% Test
t=idivide(int32(nelem),int32(4));
if 4*t~=nelem
    warning('nelem non multiple de 4')
    break
end
```



Exemple d'application (Matlab) : discontinuités dans une barre

```
% Définition des fonctions de base et de leurs dérivées
le=L/nelem;
je=le/2;
dxsidx=2/le;
h(1)=(1-xsi)/2;
h(2)=(1+xsi)/2;
H=[h(1),h(2)];
B=diff(H,xsi)*dxsidx;
% Calcul des matrices élémentaires de rigidité
Ke=int(E*A*(transpose(B)*B)*je,xsi,-1,1)
Me=int(rho*(transpose(H)*H)*je,xsi,-1,1)
% Assemblage des quantités élémentaires
K(1:nnode,1:nnode)=0;
for i=1:t
    for j=1:2
        for k=1:2
```



Exemple d'application (Matlab) : discontinuités dans une barre

```
                K(i+j-1,i+k-1)=K(i+j-1,i+k-1)
                                +2*Ke(j,k)+Me(j,k);
            end
        end
    K
end
for i=t+1:nelem
    for j=1:2
        for k=1:2
            K(i+j-1,i+k-1)=K(i+j-1,i+k-1)
                                +Ke(j,k)+Me(j,k);
        end
    end
end
K
end
```



Exemple d'application (Matlab) : discontinuités dans une barre

```
% Calcul des vecteurs élémentaire et global des
% charges externes
r(1:nnode)=0;
re=int(H*p*je,xsi,-1,1)
for i=1:nelem/2
    for j=1:2
        r(i+j-1)=r(i+j-1)+4*re(j);
    end
    r
end
for i=nelem/2+1:nelem
    for j=1:2
        r(i+j-1)=r(i+j-1)+re(j);
    end
    r
end
```



Exemple d'application (Matlab) : discontinuités dans une barre

```
% Correction du vecteur global des charges externes
r(3*t+1)=r(3*t+1)-Q
r(nnode)=r(nnode)+P
% Réduction du système d'équations
Kr=K(2:nnode,2:nnode)
rr=r(2:nnode)
% Application numérique
L=1
A=100*(10^(-6))
E=2.1*(10^11)
rho=1*(10^8)
p=20000
Q=50000
P=25000
```



Exemple d'application (Matlab) : discontinuités dans une barre

```
% Résolution du système d'équations
Kr=eval(Kr)
rr=eval(rr)
q=inv(Kr)*transpose(rr)
w(1:nnode)=0;
for i=2:nnode
    w(i)=q(i-1);
end
y=[0:1/nelem:1];
plot(y,1000*w)
xlabel('x/L');
ylabel('u [mm]');
```

moodle.epfl.ch : [discont.m](#) ⇒ \MATLAB\work

